



# Dynamique interne d'écoulements à surface libre de fluides à seuil

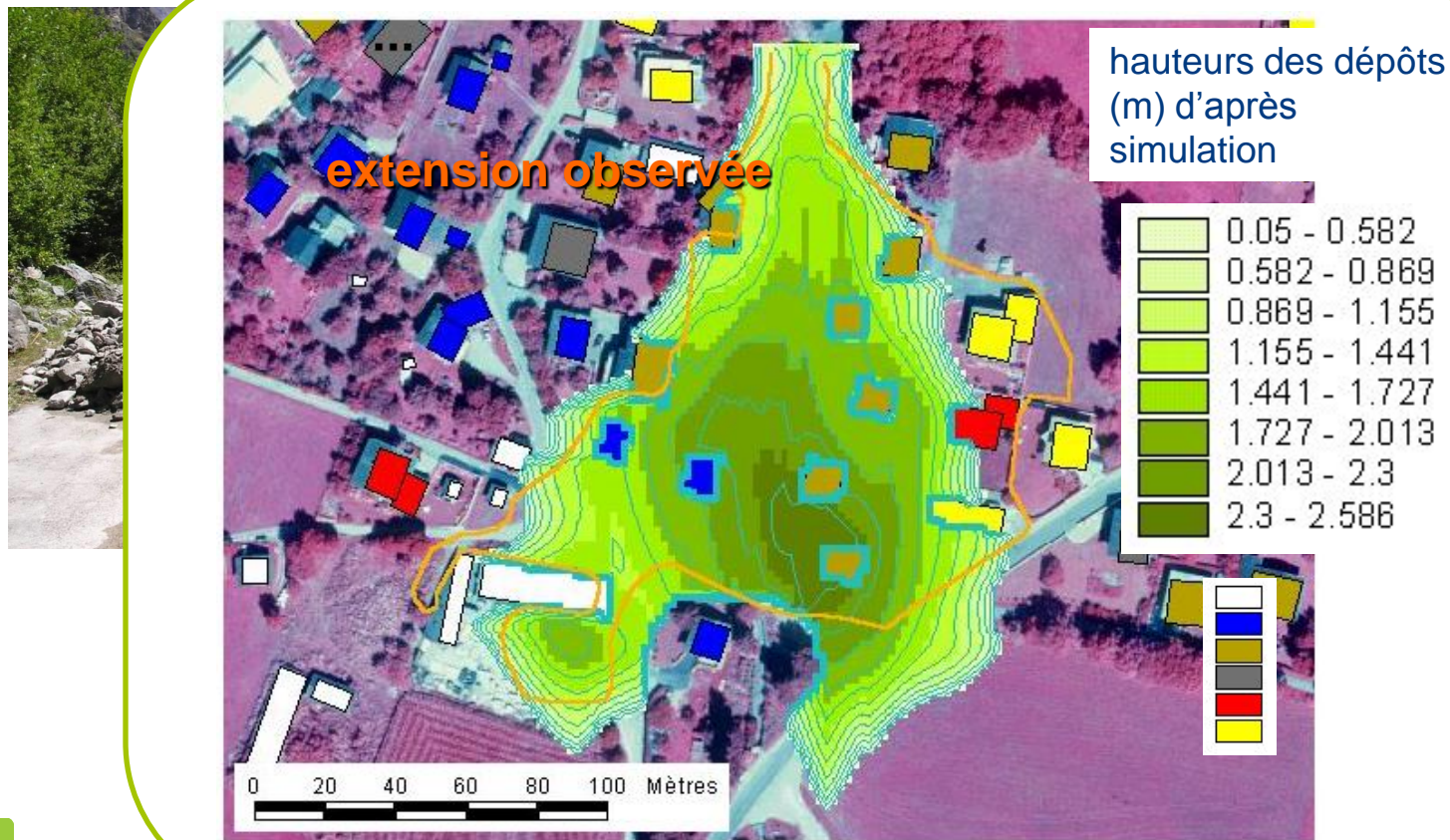
**P. Freydier, G. Chambon**

Université Grenoble-Alpes, IRSTEA,

Unité de Recherche Erosion Torrentielle, Neige et Avalanches.

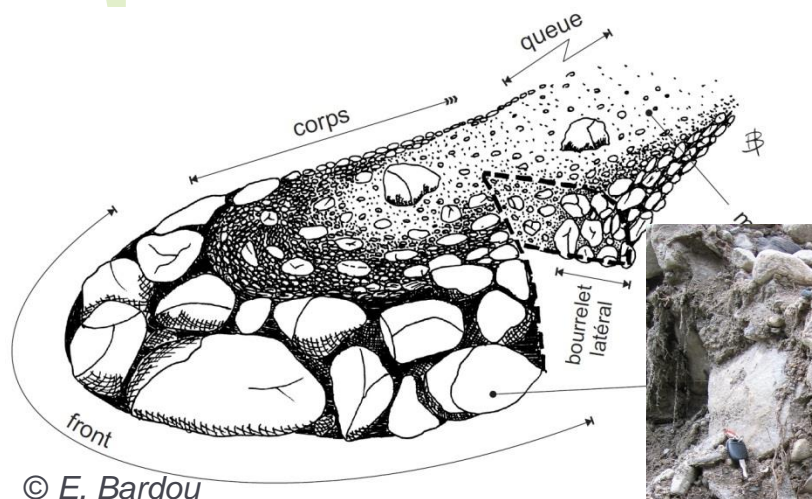


# Modélisation des écoulements géophysiques

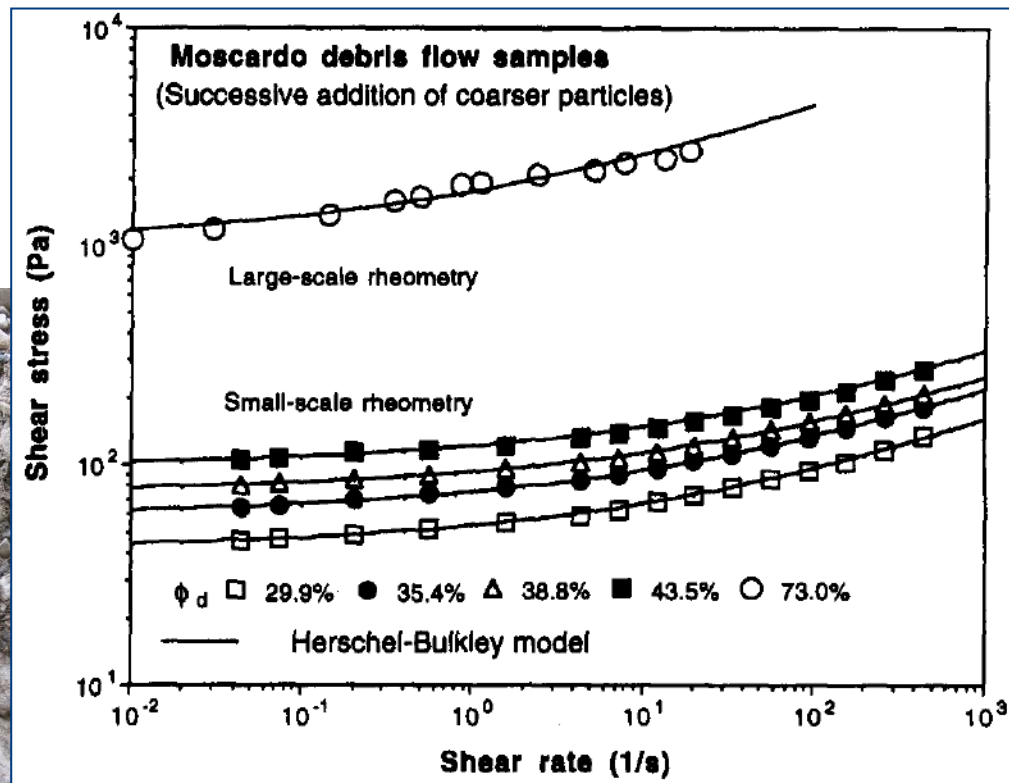


Modèle LAVE2D (Irstea)

# Rhéologie des écoulements boueux



© E. Bardou



Coussot et al., 1998

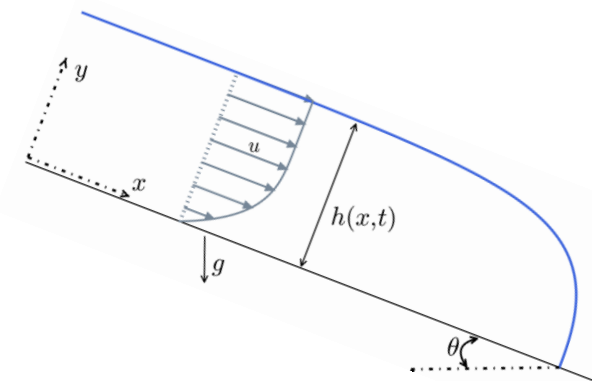
irstea

- Fortes hétérogénéités
- En première approximation: comportement de fluide à seuil (Herschel-Bulkley):

$$\begin{cases} \dot{\gamma} = 0 & \text{si } \tau < \tau_c \\ \tau = \tau_c + K\dot{\gamma}^n & \text{si } \tau \geq \tau_c \end{cases}$$

# Modèle de Saint-Venant

Hypothèse :  $\epsilon = \frac{H}{L} \ll 1$



Système d'équations intégrées dans l'épaisseur pour  $h$  et  $\bar{u} = \frac{1}{h} \int_0^h u$

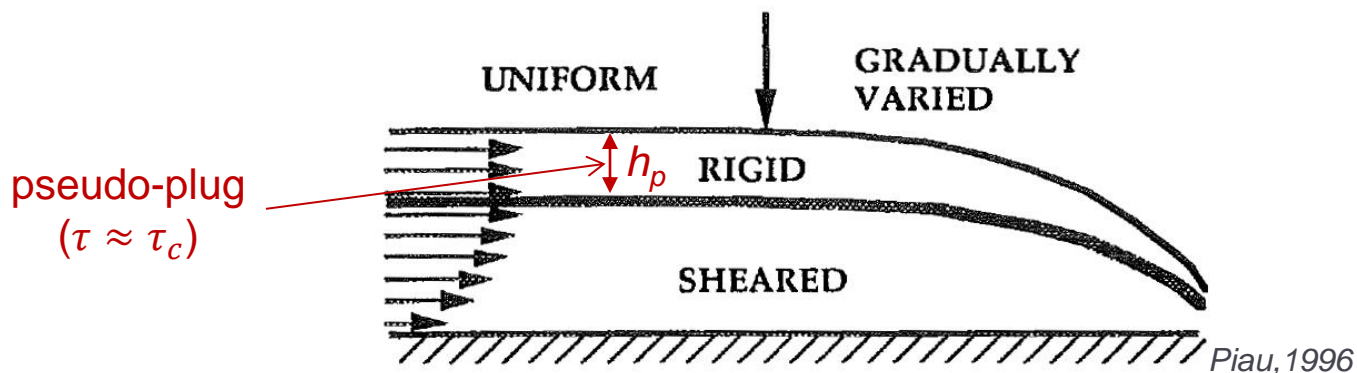
$$\frac{\partial h}{\partial t} + \frac{\partial \bar{u}}{\partial x} = 0$$

$$\underbrace{\frac{\partial(h\bar{u})}{\partial t} + \frac{\partial(h\beta\bar{u}^2)}{\partial x}}_{\text{inertie}} = \underbrace{\rho g h \sin \theta}_{\text{accélération gravitaire}} - \underbrace{\rho g h \cos \theta \frac{\partial h}{\partial x}}_{\text{gradient de pression}} - \underbrace{\tau_b}_{\text{contrainte basale}}$$

- **Rhéologie du fluide prise en compte dans  $\beta$  et  $\tau_b(\bar{u}, h)$**

- fonctions de la forme du profil de vitesse dans l'écoulement

# Fermeture classique pour les fluides à seuil



$$\tau_b(\bar{u}, h) \text{ dépend de } h_p : \tau_b = \tau_c + K \left[ \frac{2n+1}{n} \frac{h\bar{u}}{(h-h_p)(h + \frac{n}{n+1}h_p)} \right]^n$$

- Fermeture heuristique basée sur le régime permanent uniforme
- Mais: profils RPU non autosimilaires
  - Evolution de  $h_p$  dans les zones non-uniformes ?
  - Hypothèse classique :  $\frac{h_p}{h} = \frac{\tau_c}{\tau_b}$

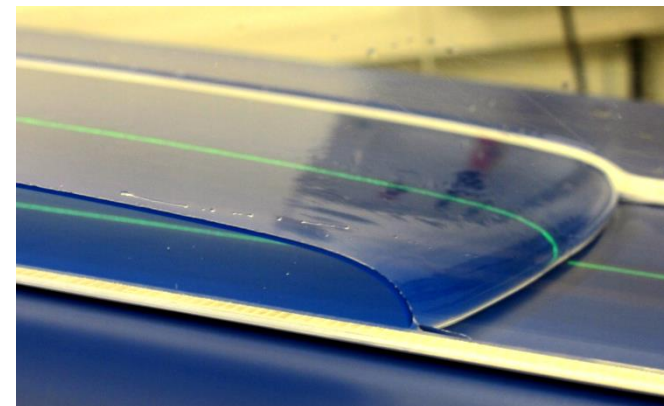
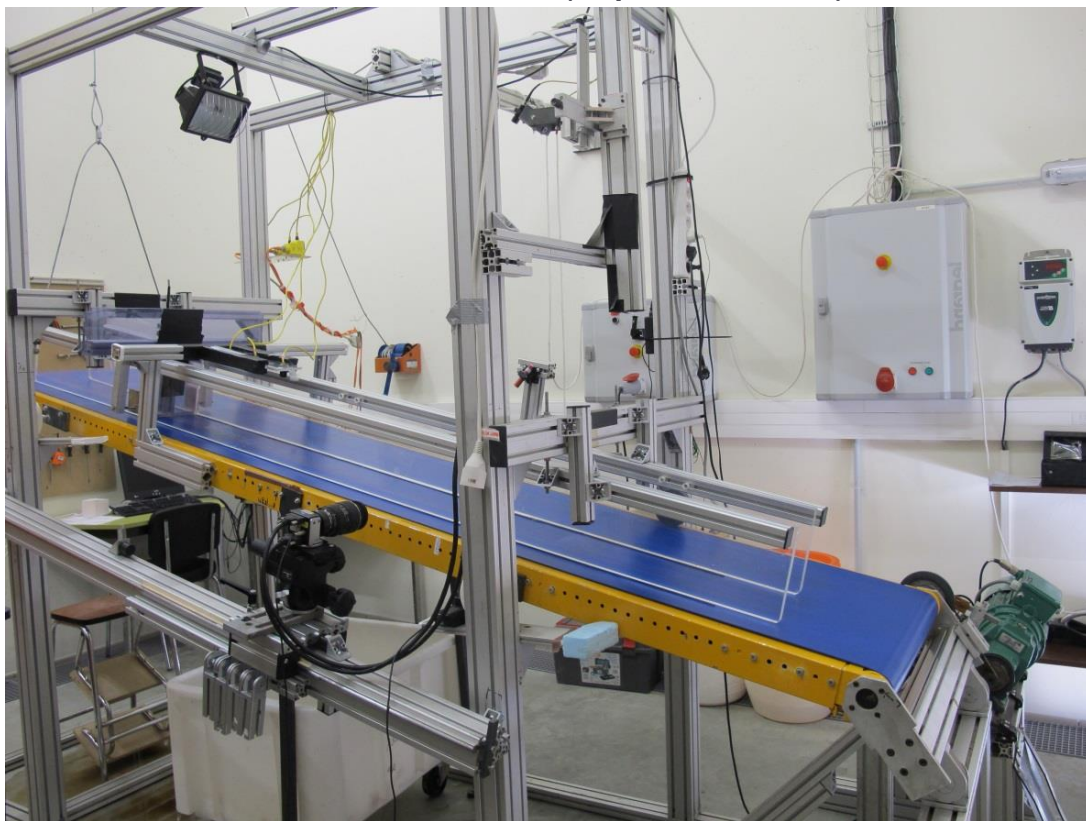


# Plan de la présentation

- Résultats expérimentaux
- Développement asymptotique pour les profils de vitesse (couche mince)
  - ordre 0
  - ordre 1
- Confrontation modèles - expériences

# Dispositif expérimental

Canal à fond mobile (tapis roulant)



➤ Fluide viscoplastique modèle:  
gel de Carbopol

Caractéristiques des coulées:

$$L \approx 1 \text{ m}$$

$$h = 5 - 30 \text{ mm}$$

$$Fr = \frac{u}{\sqrt{gh \cos \theta}} = 0,05 - 0,5$$

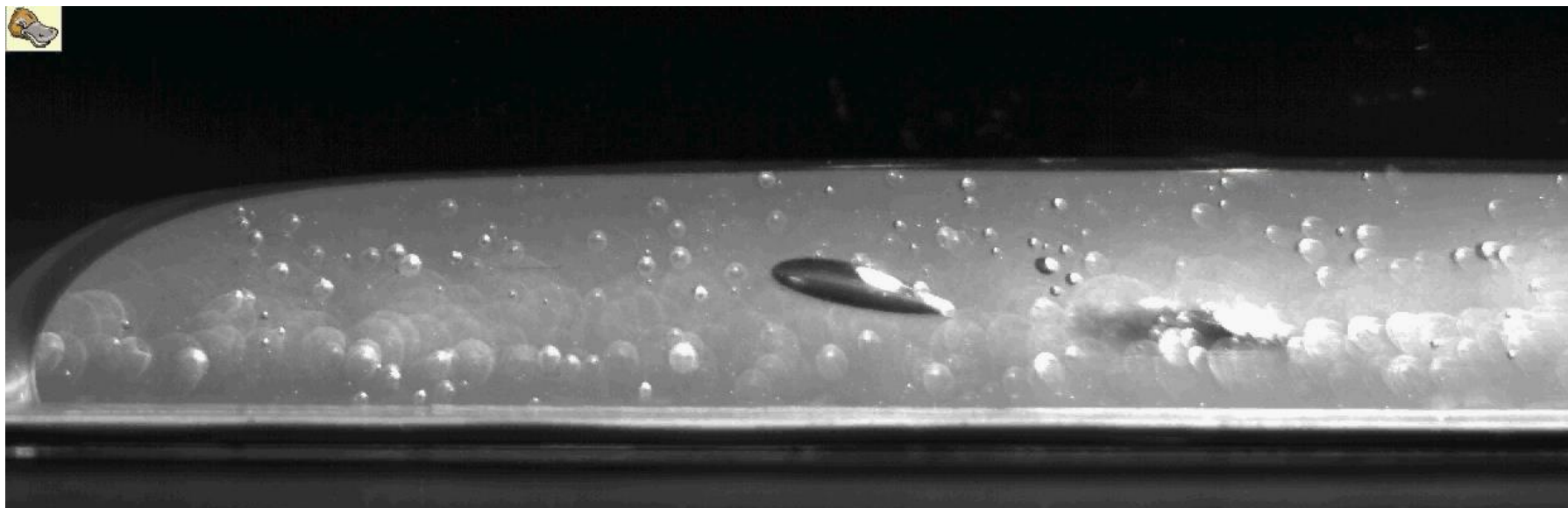
$$Re = \frac{\rho u^{2-n} h^n}{K} = 0,05 - 2$$

$$G = \frac{\tau_c}{\rho g h \sin \theta} = 0,15 - 0,35$$



# Dispositif expérimental

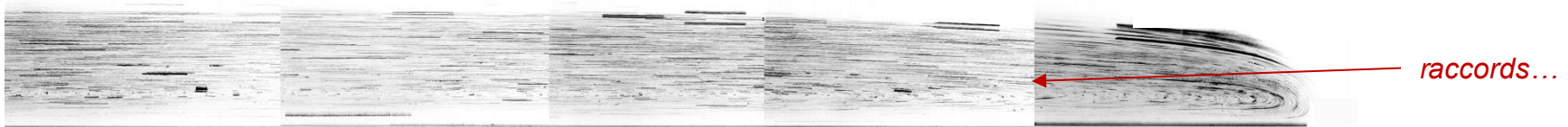
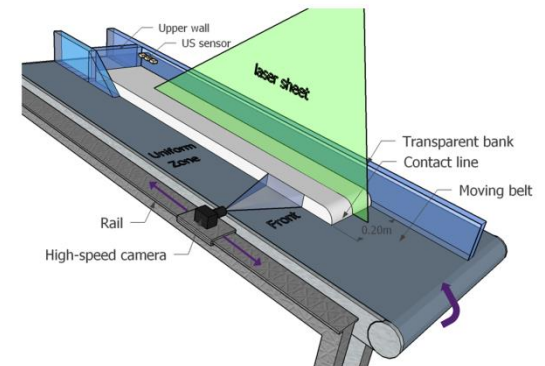
Canal à fond mobile (tapis roulant)





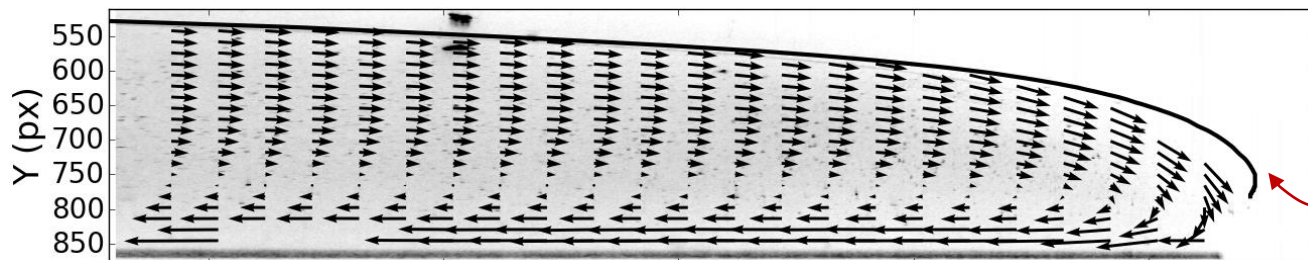
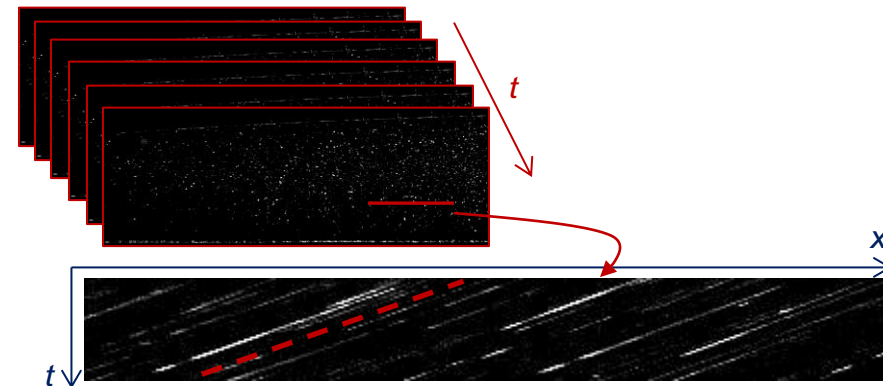
# Vélocimétrie locale

Imagerie haute résolution (26 px/mm)  
au centre de l'écoulement



- **Analyse spatio-temporelle**

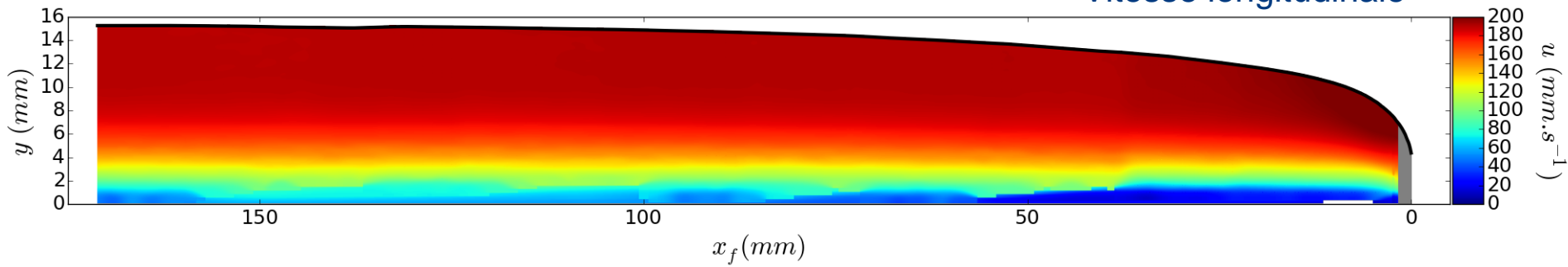
- inclinaison des lignes mesurée automatiquement (tenseur de structure)
- généralisable à « 3D » ( $u_x, u_y$ ) à haute résolution



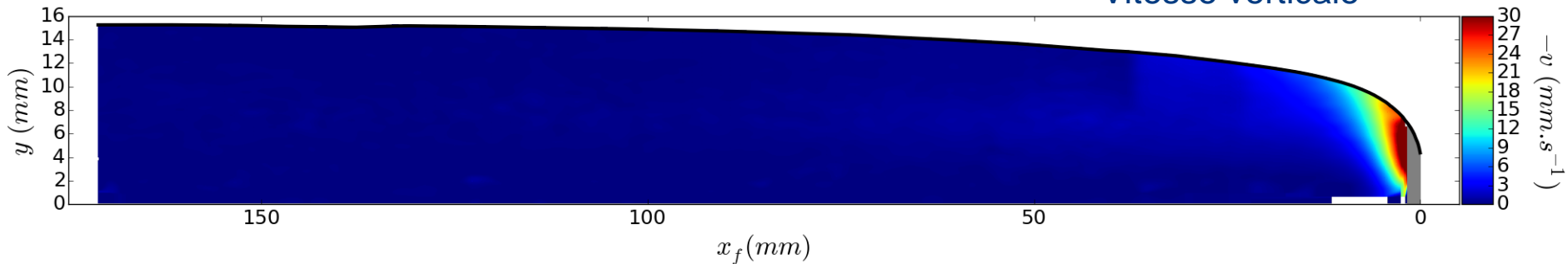
# Résultats expérimentaux

Champ de vitesse

Vitesse longitudinale

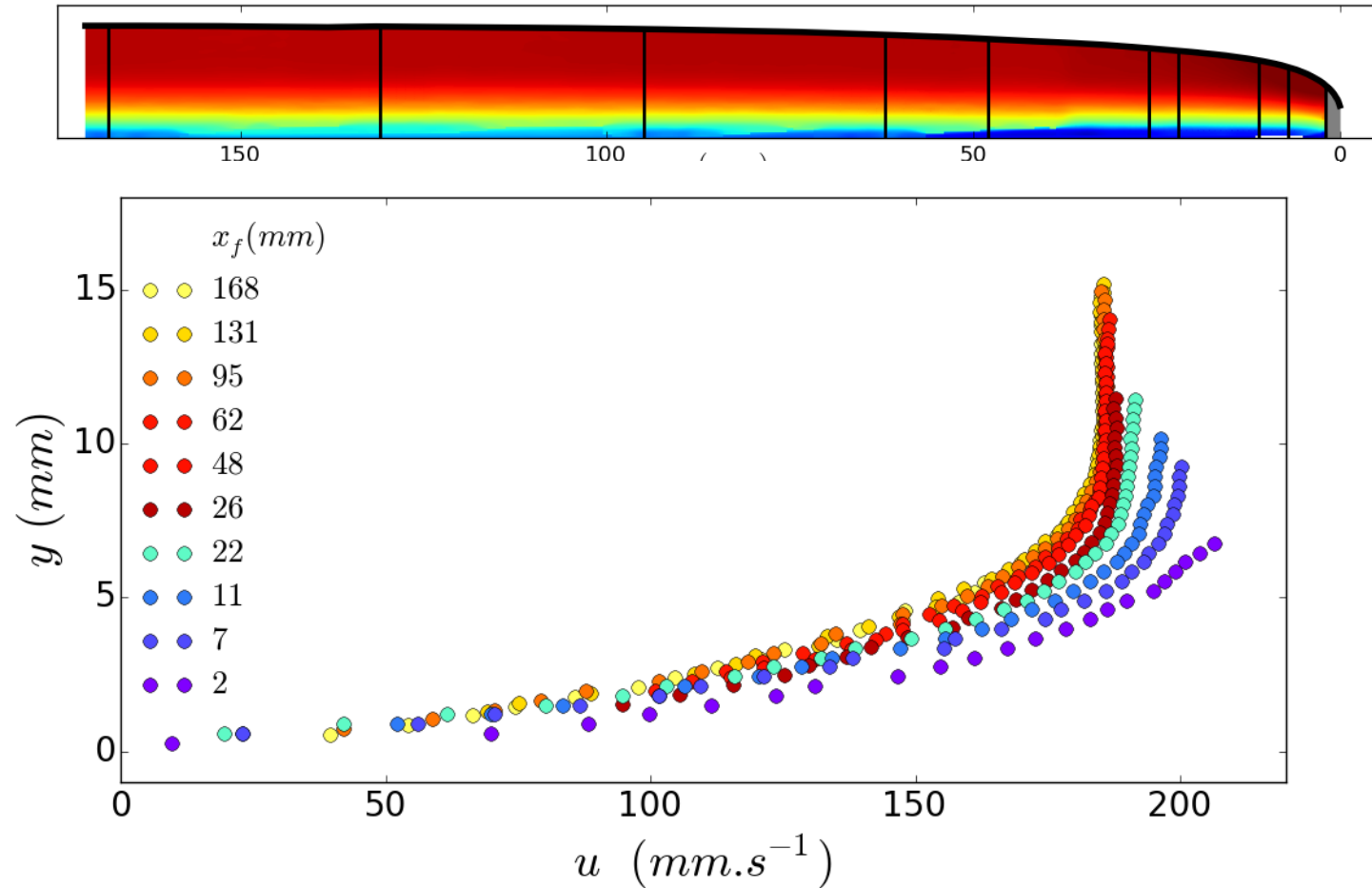


Vitesse verticale



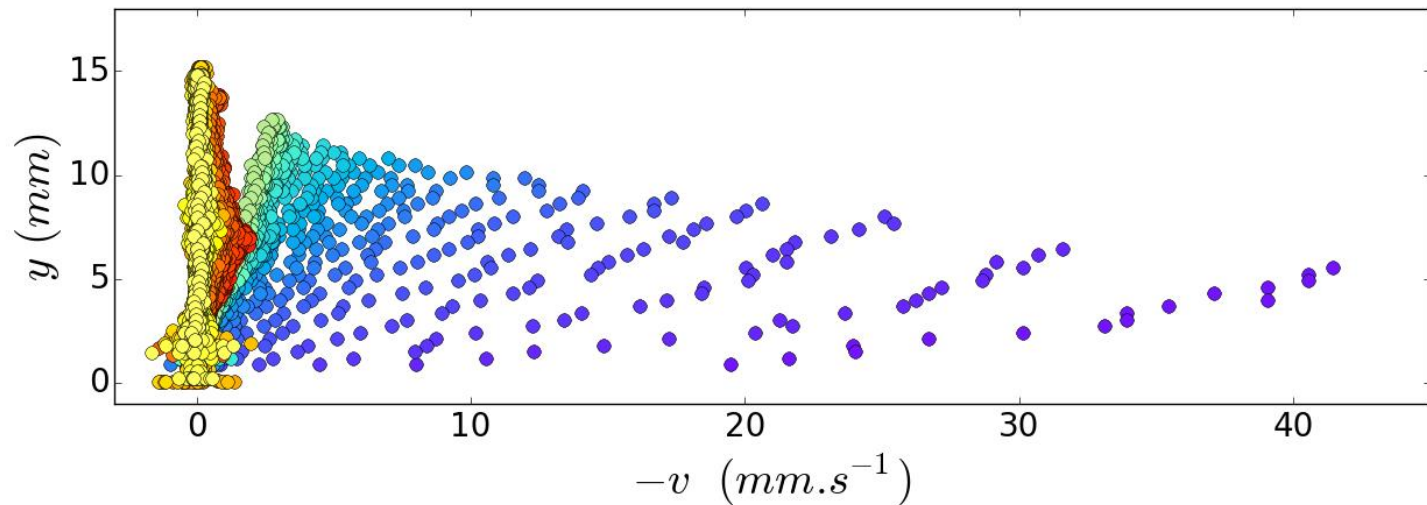
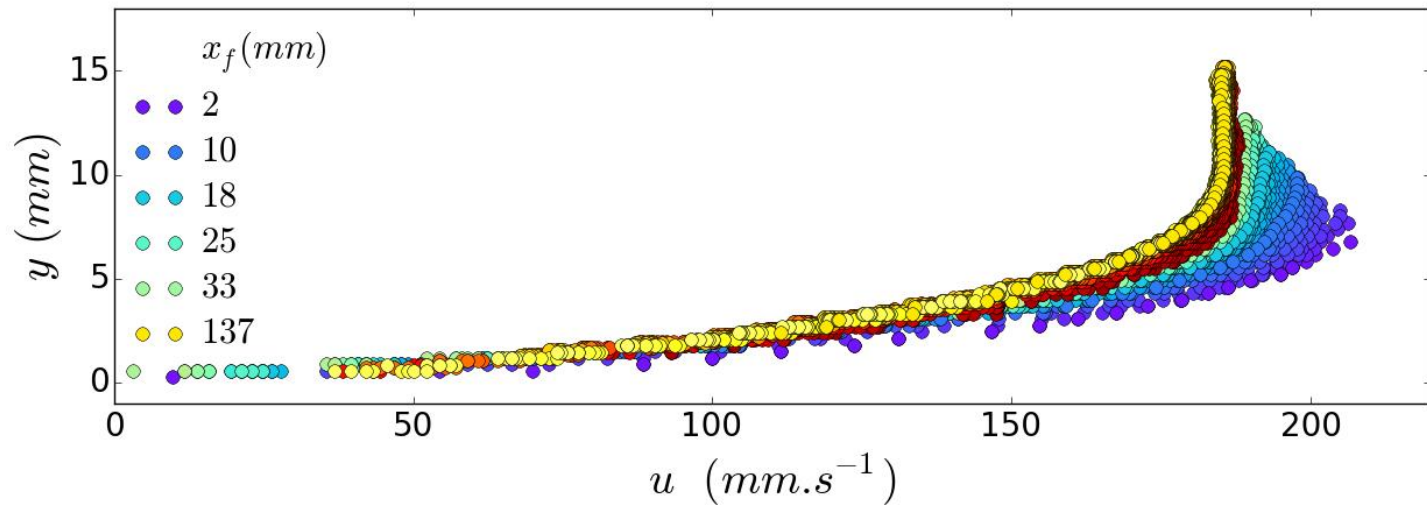
# Résultats expérimentaux

Profils de vitesse en se rapprochant du front



# Résultats expérimentaux

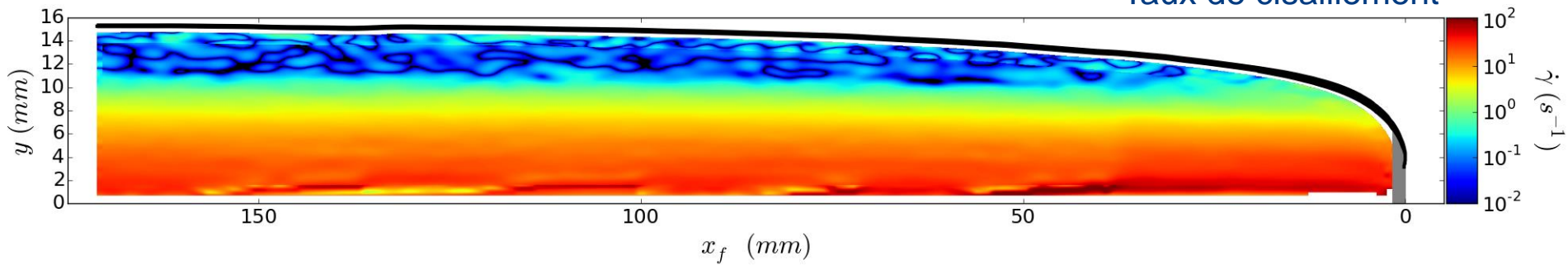
Profils de vitesse en se rapprochant du front



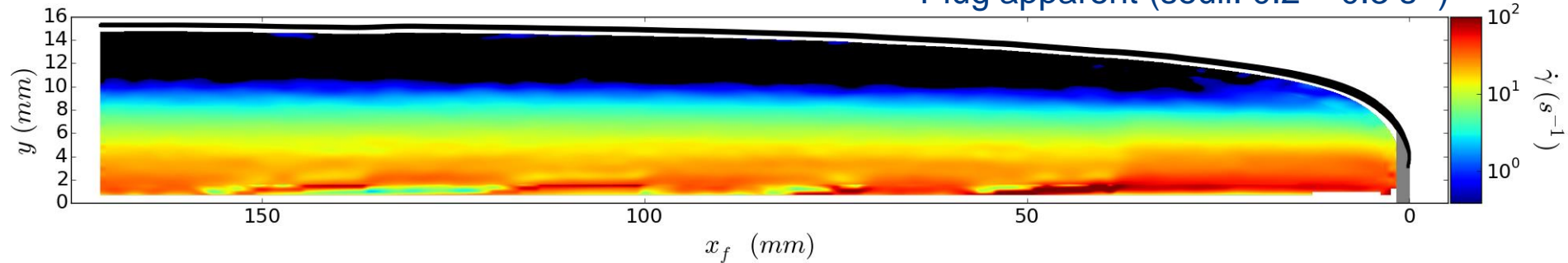
# Résultats expérimentaux

Plug

Taux de cisaillement

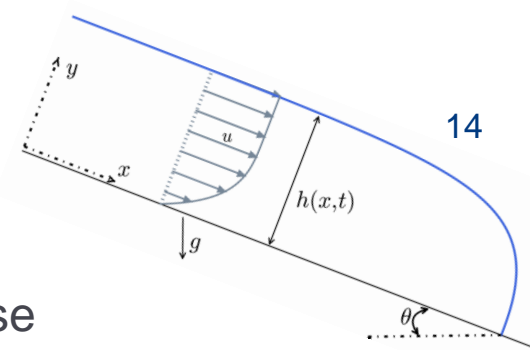


Plug apparent (seuil: 0.2 – 0.3 s<sup>-1</sup>)



# Modèle de couche mince: $\epsilon \ll 1$

Développement asymptotique des profils de vitesse



Approche inspirée de *Fernandez-Nieto, Noble & Vila, JNNFM, 2010*:  $u = u^{(0)} + \epsilon u^{(1)} + \dots$   
 $v = v^{(0)} + \epsilon v^{(1)} + \dots$   
 $p = p^{(0)} + \epsilon p^{(1)} + \dots$

$$\frac{\partial u}{\partial x} + \frac{\partial v}{\partial y} = 0$$

$$\epsilon Re \left( \frac{\partial u}{\partial t} + u \frac{\partial u}{\partial x} + v \frac{\partial u}{\partial y} \right) = \frac{Re}{Fr^2} \tan \theta - \epsilon \frac{Re}{Fr^2} \frac{\partial p}{\partial x} + Bi \frac{\partial \sigma_{xy}}{\partial y} + \epsilon Bi \frac{\partial \sigma_{xx}}{\partial x}$$

$$\epsilon^3 Re \left( \frac{\partial v}{\partial t} + u \frac{\partial v}{\partial x} + v \frac{\partial v}{\partial y} \right) = -\epsilon \frac{Re}{Fr^2} - \epsilon \frac{Re}{Fr^2} \frac{\partial p}{\partial y} + \epsilon^2 Bi \frac{\partial \sigma_{xy}}{\partial x} + \epsilon Bi \frac{\partial \sigma_{yy}}{\partial y}$$

- + loi constitutive: Herschel-Bulkley
- + CL au fond:  $u(y=0) = v(y=0) = 0$
- +...

$$Bi = \frac{\tau_c}{K} \left( \frac{H}{U} \right)^n$$

- **Choix d'échelles:**  $Re, Bi = O(1); \epsilon \frac{Re}{Fr^2} = O(1)$

# Fluide de HB: ordre 0

$$\frac{\partial u}{\partial x} + \frac{\partial v}{\partial y} = 0$$

$$\epsilon Re \left( \frac{\partial u}{\partial t} + u \frac{\partial u}{\partial x} + v \frac{\partial u}{\partial y} \right) = \overbrace{\frac{Re}{Fr^2} \tan \theta}^{\lambda} - \epsilon \frac{Re}{Fr^2} \frac{\partial p}{\partial x} + Bi \frac{\partial \sigma_{xy}}{\partial y} + \epsilon Bi \frac{\partial \sigma_{xx}}{\partial x}$$

$$\epsilon^3 Re \left( \frac{\partial v}{\partial t} + u \frac{\partial v}{\partial x} + v \frac{\partial v}{\partial y} \right) = -\epsilon \frac{Re}{Fr^2} - \epsilon \frac{Re}{Fr^2} \frac{\partial p}{\partial y} + \epsilon^2 Bi \frac{\partial \sigma_{xy}}{\partial x} + \epsilon Bi \frac{\partial \sigma_{yy}}{\partial y}$$

## ➤ Régime de lubrification:

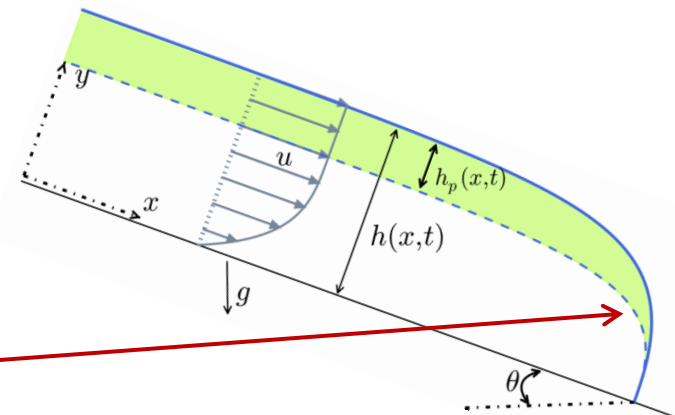
$$u^{(0)}(x, y, t) = u_p(x, t) \left[ 1 - \left( 1 - \frac{y}{h(x, t) - h_p(x, t)} \right)^{\frac{n+1}{n}} \right] \quad \text{si } y < h - h_p$$

$$u^{(0)}(x, y, t) = u_p(x, t) \quad \text{si } y \geq h - h_p$$

$$u_p(x, t) = \frac{n}{n+1} \Lambda(x, t)^{1/n} (h - h_p)^{(n+1)/n}$$

$$h_p(x, t) = \frac{Bi}{\Lambda(x, t)}$$

$$\Lambda = \lambda - \frac{\epsilon Re}{Fr^2} \partial_x h$$



# Fluide de HB: ordre 1

$$\frac{\partial u}{\partial x} + \frac{\partial v}{\partial y} = 0$$

$$\epsilon Re \left( \frac{\partial u}{\partial t} + u \frac{\partial u}{\partial x} + v \frac{\partial u}{\partial y} \right) = \frac{Re}{Fr^2} \tan \theta - \epsilon \frac{Re}{Fr^2} \frac{\partial p}{\partial x} + Bi \frac{\partial \sigma_{xy}}{\partial y} + \epsilon Bi \frac{\partial \sigma_{xx}}{\partial x}$$

$$\epsilon^3 Re \left( \frac{\partial v}{\partial t} + u \frac{\partial v}{\partial x} + v \frac{\partial v}{\partial y} \right) = -\epsilon \frac{Re}{Fr^2} - \epsilon \frac{Re}{Fr^2} \frac{\partial p}{\partial y} + \epsilon^2 Bi \frac{\partial \sigma_{xy}}{\partial x} + \epsilon Bi \frac{\partial \sigma_{yy}}{\partial y}$$

correction inertielle

correction liée aux contraintes normales

$$u^{(1)}(x, y, t) = u^{(0)}(x, y, t) + \epsilon Re \mathcal{U}_I(x, y, t) + \epsilon Bi \mathcal{U}_N(x, y, t) \quad \text{si } y < h - h_p$$

$$u^{(1)}(x, y, t) = u_p^{(0)}(x, t) + \epsilon Re \mathcal{U}_I(x, h - h_p, t) + \epsilon Bi \mathcal{U}_N(x, h - h_p, t) + \epsilon Bi \mathcal{U}_{ns}(x, y, t) \quad \text{si } y \geq h - h_p$$

pseudo-plug:  $|\sigma| = Bi \sqrt{\sigma_{xy}^2 + \sigma_{xx}^2} + O(\epsilon) = Bi + O(\epsilon)$



# Termes correctifs: inertie

$$\zeta = 1 - \frac{y}{h - h_p}$$

$$\varpi_p = \frac{h_p}{h - h_p}$$

$$\begin{aligned} \mathcal{U}_{\mathcal{I}}(\zeta) = & \Lambda^{(3-n)/n} (h - h_p)^{(2n+3)/n} p_{\mathcal{U},1}(\zeta, \varpi_p) \partial_x h \\ & + \Lambda^{(3-2n)/n} (h - h_p)^{(3n+3)/n} p_{\mathcal{U},2}(\zeta, \varpi_p) \partial_x \Lambda \\ & - \Lambda^{(2-2n)/n} (h - h_p)^{(2n+2)/n} p_{\mathcal{I},1}(\zeta, \varpi_p) \partial_t \Lambda \end{aligned}$$

$$\begin{aligned} p_{\mathcal{U},1}(\zeta, \varpi_p) = & \left( \frac{3n+2}{2(n+1)^2(2n+1)} - \frac{1}{(n+1)^2} \zeta^{(n+1)/n} + \frac{n}{2(n+1)^2(2n+1)} \zeta^{(2n+2)/n} \right) \\ & + \varpi_p \left( \frac{n+4}{(n+1)(n+2)} - \frac{1}{n+1} \zeta^{1/n} - \frac{1}{n+1} \zeta^{(n+1)/n} + \frac{n}{(n+1)(n+2)} \zeta^{(n+2)/n} \right) \\ & + \varpi_p^2 \left( 1 - \zeta^{1/n} \right) \\ p_{\mathcal{U},2}(\zeta, \varpi_p) = & \left( \frac{12+24n+3n^2-11n^3}{6(n+1)^3(2n+1)(3n+2)} - \frac{1+n-n^2}{(n+1)^3(2n+1)} \zeta^{(n+1)/n} + \frac{n(1-n)}{2(n+1)^3(2n+1)} \zeta^{(2n+2)/n} \right) \\ & + \frac{n^3}{3(n+1)^3(2n+1)(3n+2)} \zeta^{(3n+3)/n} \\ & + \varpi_p \left( \frac{12+18n-7n^2-2n^3}{2(n+1)^2(n+2)(2n+1)} - \frac{1+n-n^2}{(n+1)^2(2n+1)} \zeta^{1/n} - \frac{2-n}{(n+1)^2} \zeta^{(n+1)/n} \right) \\ & + \frac{n(1-n)}{(n+1)^2(n+2)} \zeta^{(n+2)/n} + \frac{n}{2(n+1)^2(2n+1)} \zeta^{(2n+2)/n} \\ & + \varpi_p^2 \left( \frac{6-n^2}{(n+1)(n+2)} - \frac{2-n}{n+1} \zeta^{1/n} - \frac{1}{n+1} \zeta^{(n+1)/n} + \frac{n}{(n+1)(n+2)} \zeta^{(n+2)/n} \right) \\ & + \varpi_p^3 \left( 1 - \zeta^{1/n} \right) \end{aligned}$$

## Termes correctifs: contraintes normales

$$\zeta = 1 - \frac{y}{h - h_p}$$

$$\varpi_p = \frac{h_p}{h - h_p}$$

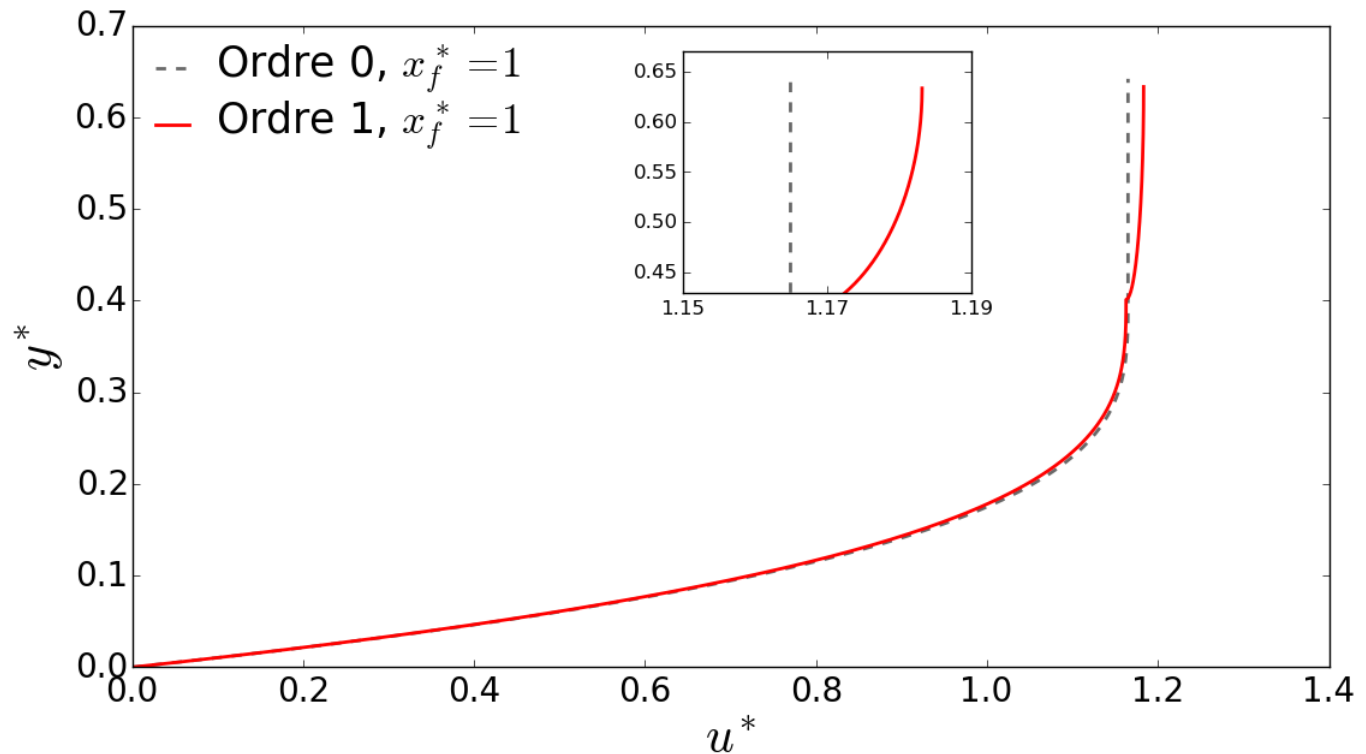
$$\mathcal{U}_N(\zeta) = -\frac{\pi}{2} \Lambda^{(1-2n)/n} h_p (h - h_p)^{1/n} (1 - \zeta^{1/n}) \operatorname{sgn} \left( \partial_x u_{pl}^{(0)} \right) \partial_x \Lambda$$

$$\mathcal{U}_{ns}(y) = 2 \sqrt{1 - \left( \frac{h - y}{h_p} \right)^2} \times$$

$$\left[ \Lambda^{(1-n)/n} (h - h_p)^{1/n} \partial_x h + \Lambda^{(1-2n)/n} (h - h_p)^{(n+1)/n} \left( \frac{1}{n+1} + \varpi_p \right) \partial_x \Lambda \right] \operatorname{sgn} \left( \partial_x u_{pl}^{(0)} \right)$$

# Comparaison des modèles

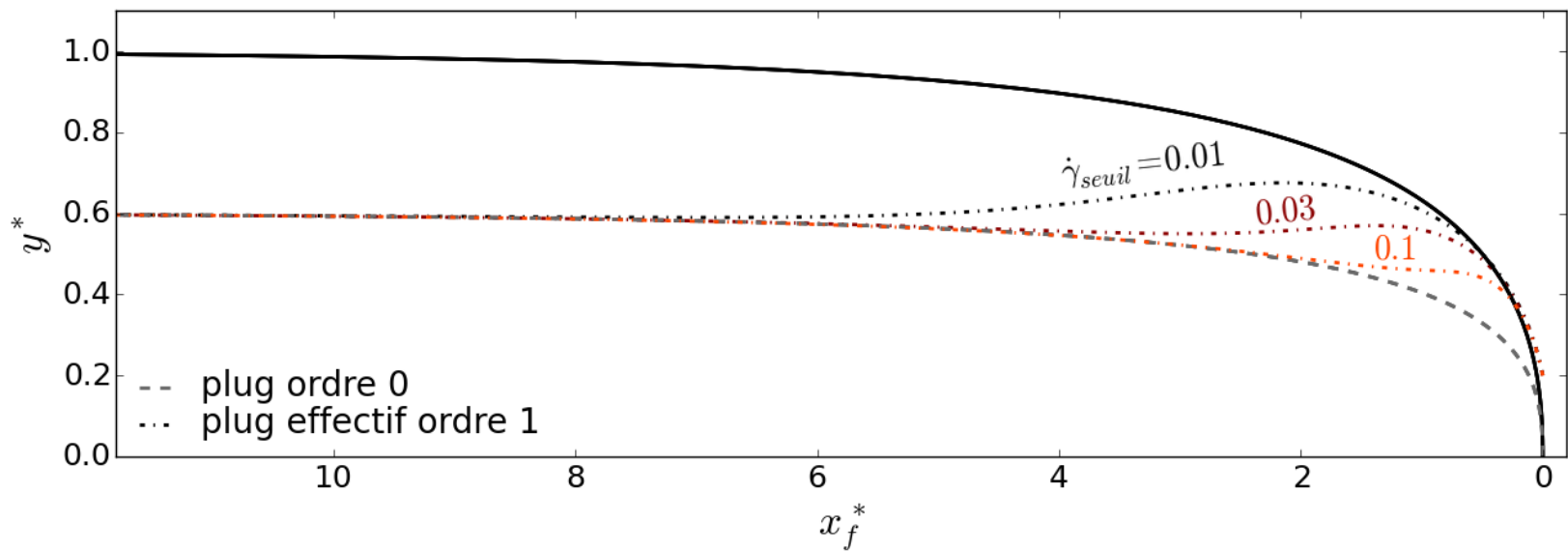
## Profils de vitesse



- Cisaillement dans le pseudo-plug à l'ordre 1
- Vitesse de surface supérieure à l'ordre 1
- Raccord non dérivable

# Comparaison des modèles :

Plug « effectif »

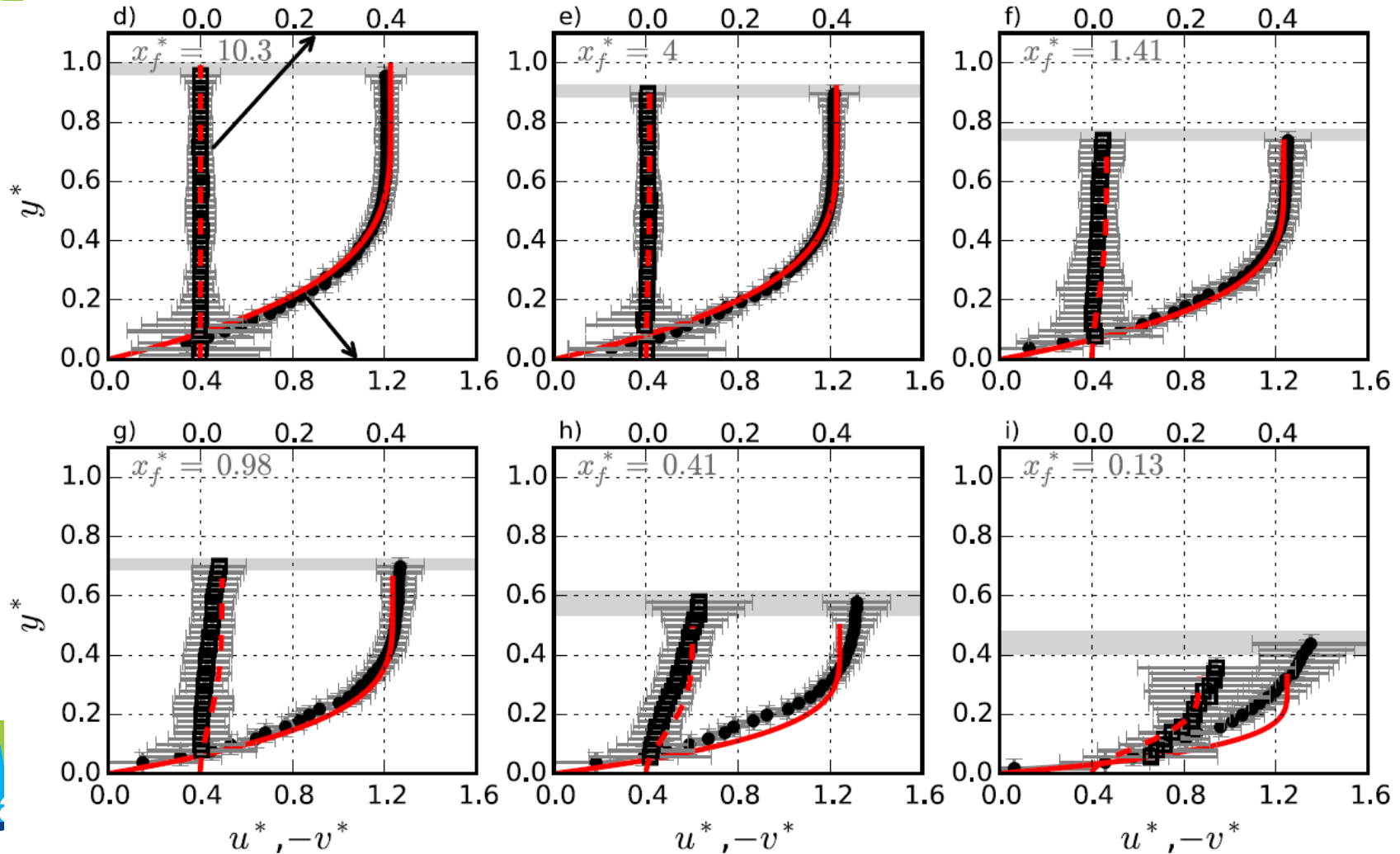


➤ Plug effectif disparaît au front

# Confrontation modèle – expés: ordre 0

Profils de vitesse

$\theta = 15,3^\circ; G = 0,35; Fr = 0,06$

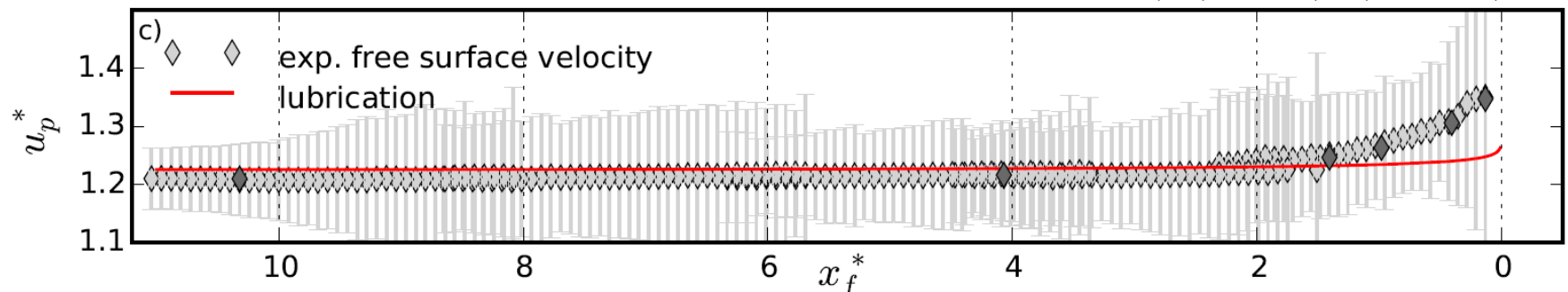


➤ Bon accord jusqu'à  $x_f^* \approx 1$

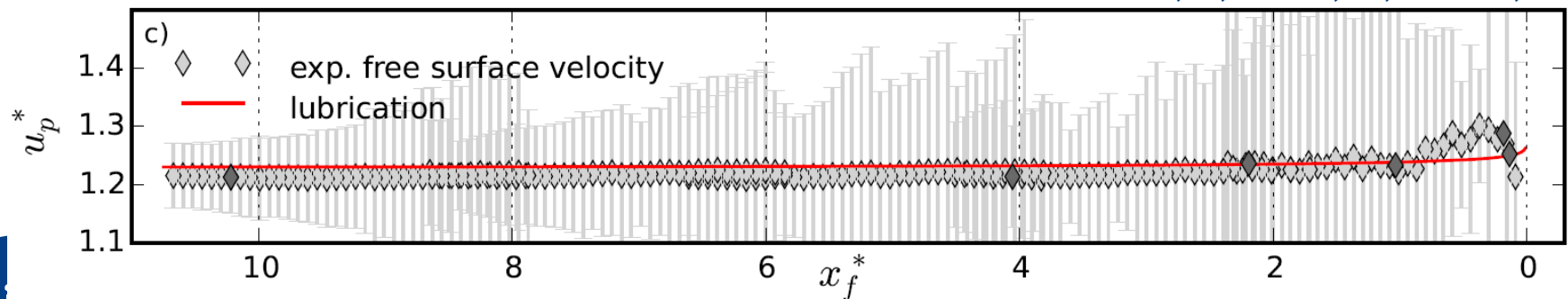
# Confrontation modèle – expés: ordre 0

Vitesse de surface

$\theta = 15,3^\circ; G = 0,35; Fr = 0,06$

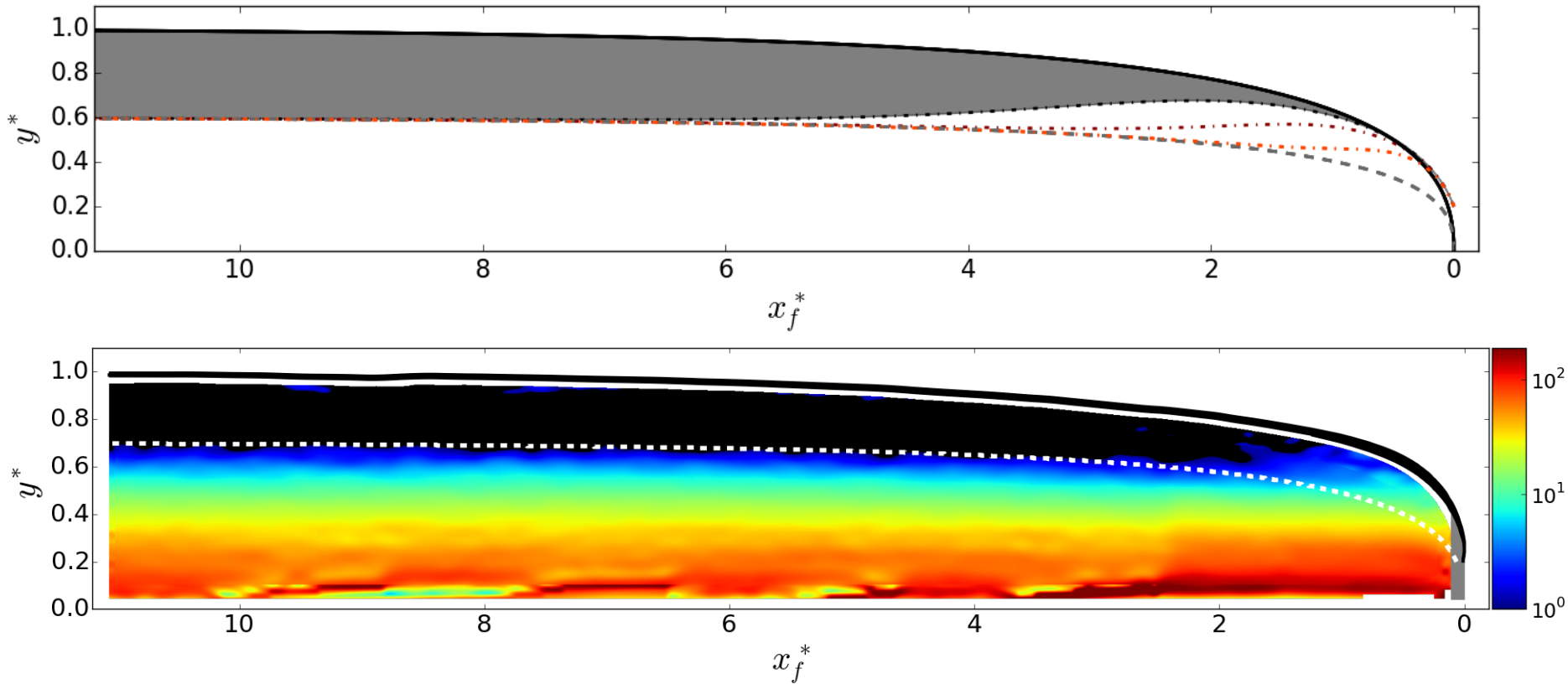


$\theta = 11,9^\circ; G = 0,17; Fr = 0,38$



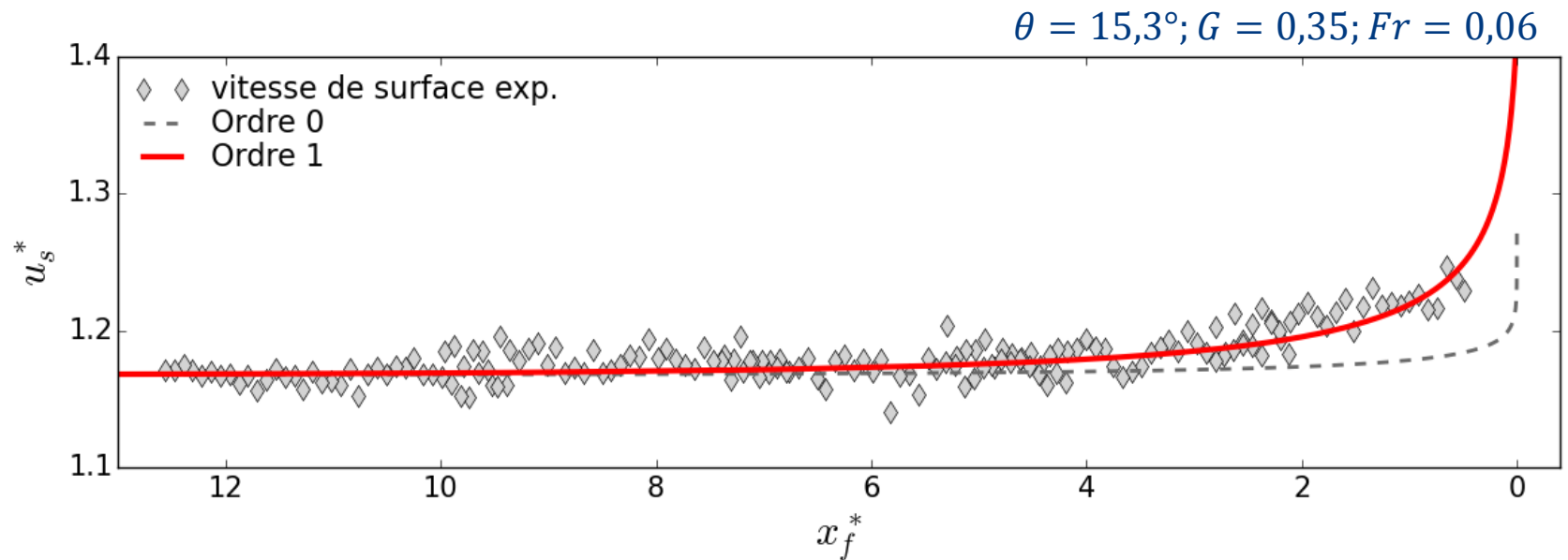
# Confrontation modèle – expés: ordre 1

Plug



# Confrontation modèle – expés: ordre 1

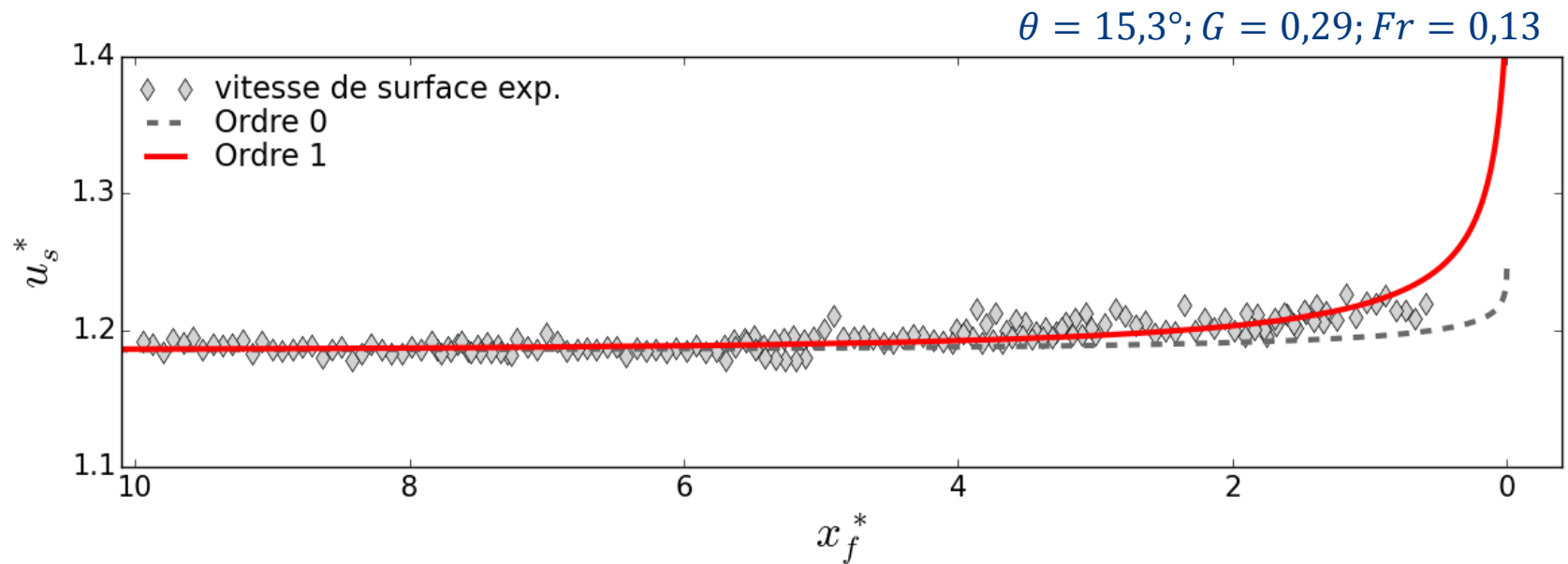
Vitesse de surface





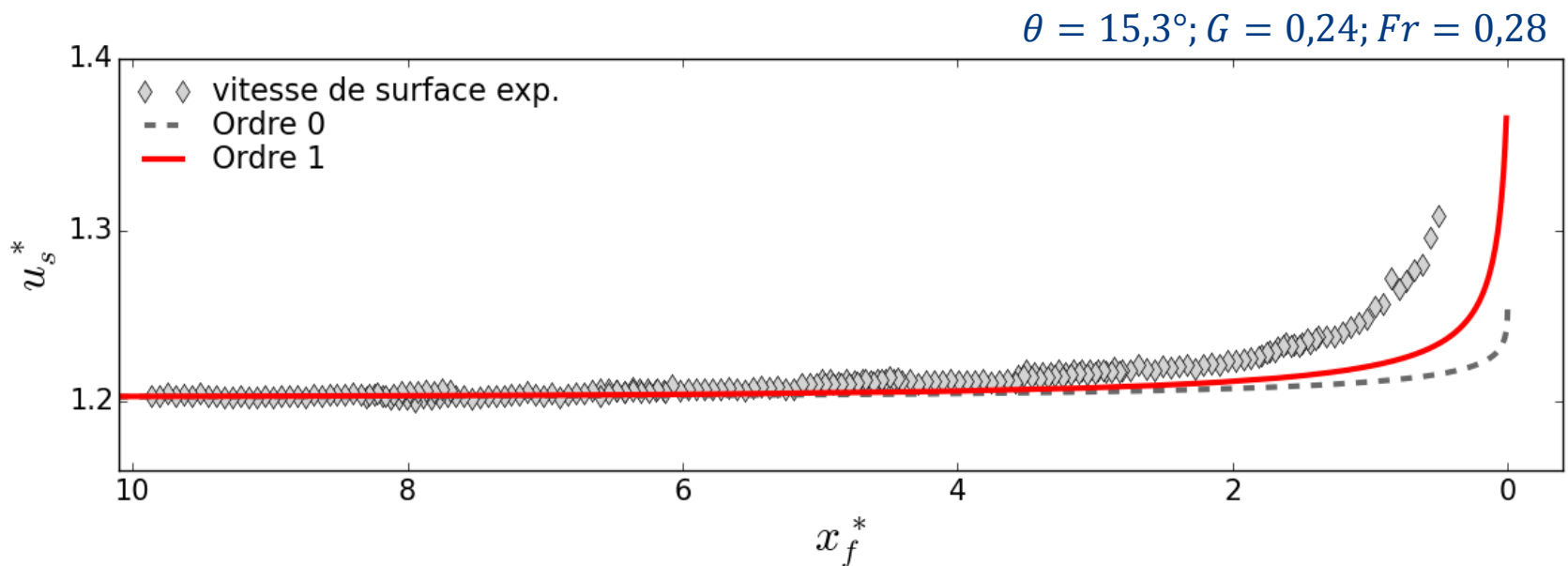
# Confrontation modèle – expés: ordre 1

Vitesse de surface



# Confrontation modèle – expés: ordre 1

Vitesse de surface



# Conclusions

- Mesure de profils de vitesse au front de coulées à surface libre
  - fluides Newtoniens et viscoplastiques
- Prédictions théoriques (développement asymptotique) des profils de vitesse dans le cas Herschel-Bulkley
- Modèle d'ordre 0 (lubrification) reproduit bien les données pour  $x_f/H_N \gtrsim 1$
- Modèle d'ordre 1 améliore l'accord au voisinage du front
  - disparition du plug
  - bon accord quantitatif jusqu'à  $\frac{x_f}{H_N} \approx 0,2$
- Différences ordre 0 – ordre 1 perceptibles uniquement dans le cas viscoplastique (rôle des contraintes normales)



Freydier, Chambon, Naaim, Experimental characterization of velocity fields within the front of viscoplastic surges down an incline, *J. Non-Newton. Fluid Mech.*, 2017.